

## تعیین ژنتایپ های اکینوکوکوس گرانولوزوس از بافت های پارافینی کیست هیداتید انسانی به روش PCR-RFLP

شیرزاد غلامی<sup>۱</sup>

مسعود سوسرايی<sup>۲</sup>

مهندی فخار<sup>۱</sup>

مهندی شریف<sup>۱</sup>

احمد دریانی<sup>۱</sup>

### چکیده

**سابقه و هدف:** شناسایی ژنتایپ های مختلف اکینوکوکوس گرانولوزوس به عنوان عامل کیست هیداتیدیک در مناطق اندمیک بیماری می تواند بر روی برنامه های کنترل بیماری به ویژه در انسان تاثیر به سزایی داشته باشد. این مطالعه جهت تعیین ژنتایپ های اکینوکوکوس گرانولوزوس از بافت های پارافینی کیست هیداتید انسانی به روش PCR-RFLP انجام شد.

**مواد و روش ها:** در این مطالعه تجربی برای تعیین خصوصیات مولکولی اکینوکوکوس گرانولوزوس، DNA ژنومی ۳۰ نمونه پارافینی انسانی کیست هیداتیدیک که از بیمارستان های سراسر استان گلستان جمع آوری شده بود پس از استخراج DNA با روش مولکولی PCR-RFLP مورد بررسی قرار گرفت. در این پژوهش از سه نوع آنزیم محدود الاثر تجزیه کننده اندونوکلئازی استفاده شد.

**یافته ها:** محصول PCR به دست آمده از تکثیر rDNA-ITS1 اکینوکوکوس گرانولوزوس کیست هیداتیدیک انسانی دو الگوی متفاوت از باندهای DNA را در ایزووله های انسانی نشان داد. از طرفی با وجود تفاوت بین ایزووله های انسانی در اندازه قطعه DNA (۱۰۰۰ جفت باز)، با استفاده از پرایمرهای EGF1/EGR2 و BD1/4S این ایزووله ها تا حدودی در اندازه قطعه (۳۹۱) با یکدیگر تشابه دارند. محصول PCR به روش RFLP نشان دهنده الگوی متفاوت با آنزیم Taq1 در ایزووله انسانی بود. از طرفی با آنزیم Msp1 و Alu1 تغییری در اندازه قطعات در ایزووله انسانی مشاهده نشد.

**استنتاج:** تفاوت و تشابه ژنتایپ بین اندازه قطعات باندهای DNA اکینوکوکوس گرانولوزوس ایزووله انسانی با روش PCR-RFLP بیانگر وجود ژنتایپ های متفاوت انگل در مناطق مختلف استان گلستان است.

**واژه های کلیدی:** کیست هیداتیدیک انسانی، اکینوکوکوس گرانولوزوس، روش PCR-RFLP، ژنتایپ

### مقدمه

انسان و حیوان دارد و همچنین از نظر ضرر های اقتصادی نیز بسیار با اهمیت است (۱-۳). این بیماری توسط مراحل لاروی سستودها (متاسستود) از جنس اکینوکوکوس (Echinococcus) یعنی اکینوکوکوس گرانولوزوس

بیماری هیداتیدوزیس (اکینوکوکوزیس) از بیماری مشترک بین انسان و حیوانات (Zoonotic) است که در بسیاری از مناطق دنیا به خصوص در کشورهای منطقه مدیترانه شایع است. این بیماری تاثیر مهمی در سلامت

۱) این مقاله حاصل طرح تحقیقاتی شماره ۱۲۳-۱۸۸ است که توسط معاونت تحقیقات و فناوری دانشگاه علوم پزشکی مازندران تأمین شده است.

مؤلف مسئول: شیرزاد غلامی - ساری: دانشگاه علوم پزشکی مازندران، دانشکده پزشکی، گروه انگل شناسی و قارچ شناسی E-mail: sgholami@mazums.ac.ir

۱. گروه انگل شناسی و قارچ شناسی دانشکده پزشکی دانشگاه علوم پزشکی مازندران

۲. دانشجوی کارشناس ارشد انگل شناسی دانشکده پزشکی، کمیته تحقیقات دانشجویی، دانشگاه علوم پزشکی مازندران

۳) تاریخ دریافت: ۸۹/۱۲/۹ تاریخ ارجاع جهت اصلاحات: ۹۰/۳/۸ تاریخ تصویب: ۹۰/۵/۱۹

مخالف از جمله استرالیا، چین، آرژانتین، کنیا، هند و لهستان گزارش شده‌اند (۲۰-۲۲).

هرچند خصوصیات گونه‌های اکینوکوکوس گرانولوزوس از ایران در انسان و دام‌ها (میزان واسطه) با روش‌های مرفلوژی و بیوشیمیایی و مولکولی در ایران مورد مطالعه قرار گرفته است (۲۴، ۲۳، ۱۴، ۱۰) ولی مطالعه استرین‌ها یا ژنوتیپ‌های اکینوکوکوس گرانولوزوس در انسان (افراد مبتلا که جراحی شده‌اند) و دام‌های مبتلا به کیست هیداتید کشتار شده (مانند گوسفند، گاو و شتر) با روش‌های مولکولی بویژه PCR-RFLP در نواحی شمالی به طور محدود مورد مطالعه قرار گرفته است (۲۵، ۲۳، ۹). از طرفی مطالعه خصوصیات مولکولی سویه‌ها و ژنوتیپ‌های اکینوکوکوس گرانولوزوس عامل کیست هیداتیک انسانی فیکس شده با پارافین به روش PCR-RFLP از روش‌های جدید می‌باشد که در این مطالعه از این روش استفاده می‌شود. با توجه به اینکه روش استخراج DNA از پروتوكولکس‌های اکینوکوکوس گرانولوزوس تاثیر مهمی در نتایج PCR و PCR-RFLP دارد. برای استخراج DNA از نمونه‌های بافتی فیکس شده کیست‌های هیداتید انسانی در پارافین استفاده می‌شود (۲۶-۲۸). بنابراین این مطالعه با هدف شناسایی ژنوتیپ‌ها یا استرینی‌های اکینوکوکوس گرانولوزوس از بافت‌های پارافینی کیست هیداتید انسانی جراحی شده در استان گلستان انجام شد.

## مواد و روش‌ها

در این مطالعه تعداد ۳۰ مورد از نمونه‌های بافتی کیست هیداتید انسانی فیکس شده در فرمالین و قرار گرفته شده در پارافین FFPT (Formalin fixed paraffin embedded) (بین سال‌های ۸۳ تا ۸۸ از سراسر استان گلستان (بیمارستان‌های حکیم جرجانی گرگان، ۵ آذر، کلینیک دکتر موسوی، خاتم الانبیاء گنبد و شهداء گنبد) در سال ۱۳۸۸ جمع‌آوری

ایجاد می‌شود. این بیماری در اغلب نقاط به خصوص نواحی روستایی که معمولاً در آن جا مواد زائد کشتار دام‌ها به صورت غیر بهداشتی و ناصحیح دفع می‌شود شایع است و نسبت به سایر گونه‌های اکینوکوکوس، گونه گرانولوزوس در ایران مهمتر است (۵، ۴). شواهد نشان می‌دهند که در سالیان اخیر نه تنها از شیوع بیماری در دنیا کاسته نشده بلکه در بسیاری از کشورها شیوع و شدت بیماری در انسان و حیوانات در حال گسترش است (۳، ۲). در ایران آلدگی انسان به این بیماری از نقاط مختلف کشور گزارش گردیده است (۶-۸) این بیماری در دام‌هایی نظیر گوسفند، بز، گاو و شتر به میزان نسبتاً بالای مشاهده می‌شود (۹). از طرفی آلدگی سگ‌ها به خصوص سگ‌های ولگرد و گله به کرم بالغ در تمام نقاط کشور مشاهده شده است (۶، ۴، ۷). معمولاً در مناطقی که بیماری اندمیک است، از نظر بیولوژی، ژنتیکی یا استرینی تنوع نسبتاً زیادی در گونه اکینوکوکوس گرانولوزوس وجود دارد (۱۰، ۱۱). مطالعات متعدد ثابت نموده که در این گونه مناطق، اکینوکوکوس به صورت کمپلکسی از استرین‌های مختلف وجود دارد. که این نوع ممکن است بر روی اپیدمیولوژی و بیماریزایی کیست هیداتیک اثر گذارد. علاوه بر این دلایلی وجود دارد که برخی استرین‌ها برای انسان نسبت به سایر استرین‌ها، بیماری‌زایی بیشتری دارند (۱۲، ۱۳).

در حال حاضر برای شناخت استرین‌های اکینوکوکوس گرانولوزوس علاوه بر خصوصیات مرفلوژی، بیوشیمیایی و زیستی از روش‌های مولکولی به خصوص روش‌هایی بر مبنای PCR-RFLP به ویژه ناحیه ITS1 و سکانس rDNA استفاده می‌شود این ناحیه ITS-1 (ITS-1) از جمله مناطق ژنی مناسب موجود در rDNA می‌باشد که با کیفیت و کمیت مناسب برای تهیه محصولات PCR قوی و خالص برای مطالعات مولکولی دارای اهمیت می‌باشد (۱۷-۱۴). تاکنون ۱۰ ژنوتیپ مجزا (G1-G10) از این انگل با استفاده از روش‌های مولکولی شناسائی شده است (۱۰-۱۸). این استرین‌ها از مناطق

McManns و شربت خواری و همکاران با استفاده از دستگاه ترموسایکلر آپندورف ساخت کشور آلمان انجام شد (۱۴، ۹، ۲۶). برای تکثیر ناحیه ITS1 از rDNA به روش PCR از پرایمرهای اختصاصی که روی ژنهای ۲ ساپ یونیت ۱۸S و ۵/۸S DNA ریبوزومی (rDNA) متصل می‌شوند، استفاده شد. در این مطالعه از ۲ جفت پرایمر EGF1/EGR2 و BD1/4S (تهیه شده توسط شرکت تکاپوزیست) استفاده شد. این پرایمرها باعث افزایش قطعه ITS1 می‌شود.

1- Forward, BD1: 5'-GTCGTAACAAGGTTCCGTA-3'  
Reverse, 4S: 5'-TCTAGATGCGITCGAA(G/A)TGTGATG-3'  
2- Forward, EGF1: 5'-CCAAACTTGATCATTTAGAGGAAG-3',  
Reverse, EGR2: 5'-TATGGGCCAAATTCACTCATTACC-3

برای تکثیر قطعه ITS1 حجم ۵۰ میکرولیتری شامل ۵ µl DNA template (۲۰۰ ng/µl)، ۵ µl dNTP (pH=۹)، ۱۰ mM Tris-HCl buffer، ۵۰۰ Mm KCL، ۱۰ mM MgCl<sub>2</sub> از هر پرایمر ۲۴ pmol و ۱/۵ unit از Taq polymerase در PCR استفاده شد. شرایط PCR برای هر محلول واکنش ایزوله شامل: دناتوره اولیه یک سیکل در ۹۵ °C به مدت ۱۰ دقیقه و ۴۵ سیکل در ۹۵ °C دناتوره به مدت ۳۰ ثانیه، مرحله تکثیر ۷۲ °C به مدت ۱ دقیقه و تکثیر نهایی ۷۲ °C به مدت ۱۰ دقیقه بوده است. محصول بعد از تکثیر از طریق ژل آگاروز ۱ درصد در بافر (w/v) Tris-acetate-EDTA (TBE) (۱%) الکتروفورز گردید. سپس ژل با اتیدیوم بروماید رنگ‌آمیزی و باندهای DNA توسط دستگاه ژل داکت متصل به کامپیوتر (Gel Chemi Doc, BioRad) مشاهده گردید. جهت هضم آنزیمی محصول PCR، برای هر ایزوله جداگانه از ۳ آنزیم محدود الاثر تجزیه کننده اندونوکلئازی Msp1، Alu1 و Taq1 با مشخصات زیر و با غلظت‌های مشخص در ۱۰X بافر تهیه شده توسط شرکت فرمتوس به مدت ۶ تا ۱۰ ساعت در دمای ۳۷ درجه استفاده شد.

شد. سپس نمونه‌ها به مرکز تحقیقات سلولی و مولکولی دانشکده پزشکی مازندران انتقال داده شد. همه نمونه‌ها دارای کدھایی بودند که براساس آن مشخصات کامل هر نمونه یادداشت گردید.

دپارافینه کردن نمونه‌ها پارافینی: در آزمایشگاه پاتولوژی برش‌های ۶ تا ۱۰ میکرونی بلوك‌های پارافینی هر بیمار در تیوب‌های ۱/۵ میکرولیتری قرار داده شد. طبق روش Schneider و همکاران برای استخراج DNA به هر نمونه ۱ ml گزیل اضافه و در ۳۷ درجه سانتی گراد به مدت ۱۰ دقیقه نگهداری شد. سپس نمونه‌ها در دور ۸ g به مدت ۵ دقیقه سانتریفیوژ و مایع رویی آن دور ریخته شد. بعد از مرحله پارافین زدایی جهت آبگیری، نمونه‌ها به ترتیب در اتانول ۱۰۰، ۹۰، ۸۰ و ۷۰ درصد قرار داده شدند. در پایان این مرحله نمونه‌ها دپارافینه شده و به هر نمونه ۱ سی سی الکل ۷۰ درجه اضافه شد (۲۸).

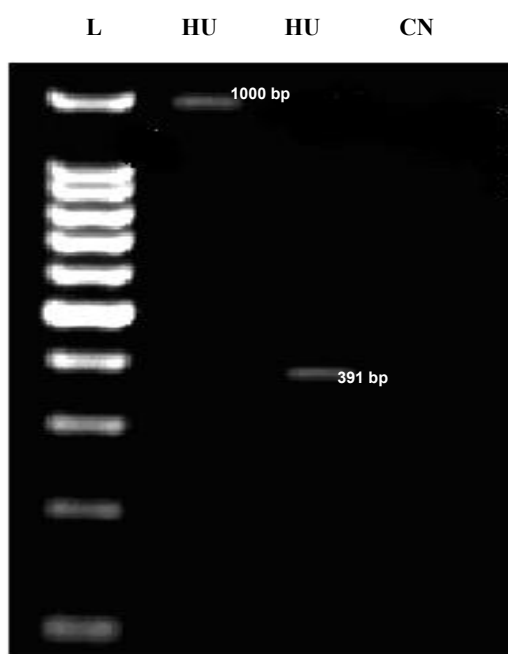
برای استخراج DNA، نمونه‌های کیست هیداتیک نگهداری شده در الکل ۷۰ درصد با pH ۷/۲ PBS با شتیشو شد. سپس بر طبق روش Sambrook و همکاران (۲۹) و شربت خواری و همکاران (۳۰) از روش هضم انگل DNA و پروتیناز K با استفاده از کیت استخراج DNA (شرکت سیناژن) مراحل استخراج DNA انجام شد. در این مرحله ۲۰۰ ml از هر نمونه در ۱ ml بافر لیزکننده و در ۱ ml پروتیناز K هضم و در دمای ۹۵ سانتی گراد به مدت ۳ ساعت انکوبه شد. DNA زنومی انگل طی مراحل مختلف استخراج و پس از اضافه کردن ۱۰۰ میکرولیتر بافر TE به آن در دمای ۲۰ °C نگهداری شد. برای اطمینان از وجود DNA، غاظت DNA نمونه‌ها با روش اسپکترومتری (SOD) تعیین شد (۲۸، ۲۹).

تکثیر و هضم آنزیمی PCR-RFLP ITS1 به روش (Internal Transcribed Spacer 1) ITS1 تکثیر ناحیه PCR با تغییراتی و بر اساس پرایمرهای طراحی شده بر طبق روش، فصلی و همکاران، Bowles و

تکثیر شده کیست هیداتید است (جدول شماره ۱ و تصویر شماره ۱).

جدول شماره ۱ : تعداد و اندازه تقریبی قطعات DNA اکینوکوکوس گرانولوزوس بعد از تکثیر با PCR با پرایمرهای BD1/4S و EGF1/EGF2 در ایزوله انسانی

پرایمر	اندازه قطعه DNA ایزوله انسانی	ایزوله
BD1 / 4S	۳۹۱Bp	
EGF1 / EGF2	۳۹۱ و ۱۰۰ Bp	



تصویر شماره ۱ : باندهای DNA اکینوکوکوس گرانولوزوس پس از تکثیر قطعه ITS1 از DNA ریبوزومی ایزوله انسانی با روش PCR با استفاده از پرایمر EGF1/EGR2 (تعداد و اندازه باند).

هضم آنزیمی DNA نمونه های پارافینه کیست هیداتید انسانی با آنزیم های *AluI* و *MspI*, *TaqI* و *AluI*:  
جهت هضم اندونوکلئازی DNA اکینوکوکوس گرانولوزوس محصول PCR نمونه های پارافینه کیست هیداتید انسانی از ۳ آنزیم محدود الاثر تجزیه کننده اند و نوکلئازی *Alu1*, *Msp1*, *Taq1* و *Alu1* با توالی متفاوت از نوکلئوتیدی ها استفاده شد.  
هضم آنزیمی DNA اکینوکوکوس گرانولوزوس

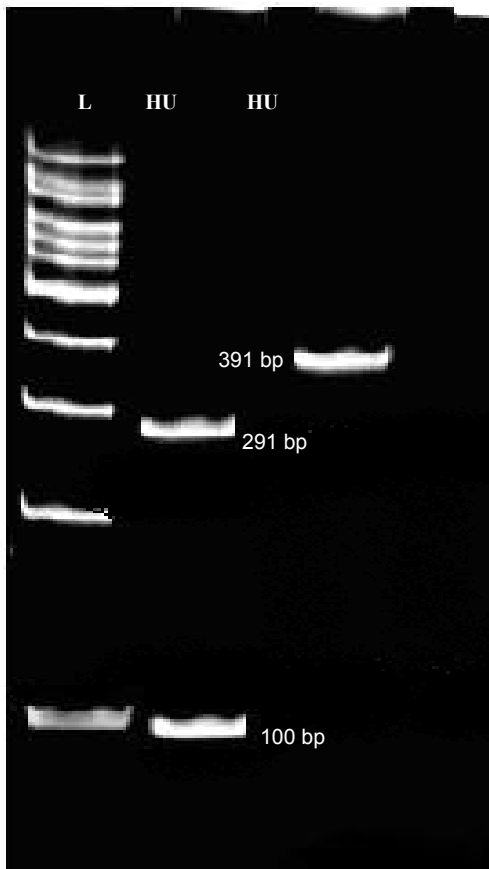
[*AluI* (5' AG/CT 3'), *MSPI* (5' C/CGG 3'), *Taq I* (5' T/CGA 3')] (15-20µl, PCR product with 2 µl assay buffer, 2 µl BSA, 7 µl sterile distilled water and 1 µl restriction enzymes 8-10 U/ µl at 37oC)

پس از هضم آنزیمی محصول PCR-RFLP از طریق ژل آگاروز ۳ درصد در بافر TBE با ولتاژ ۵۰ تا ۱۰۰ میلی ولت الکتروفورز گردید. سپس ژل با اتیدیوم بروماید رنگ آمیزی و باندهای DNA توسط دستگاه ژل داکت متصل به کامپیوتر مشاهده و تصاویر تهیه گردید. اندازه قطعات محصولات PCR و هضم آنزیمی FRLP هر ایزوله بوسیله نرم افزار UVIdoc تعیین و الگوهای مختلف DNA با یکدیگر مقایسه شد.

## یافته ها

در مطالعه حاضر DNA نمونه های بافتی کیست هیداتید انسانی فیکس شده در فرمالین و قرار گرفته شده در پارافین (FFPT) از بیمارستان های سراسر استان گلستان با استفاده از روش مولکولی (PCR-RFLP) rDNA مورد بررسی قرار گرفتند. ابتدا ناحیه ۱ از ITS1 اکینوکوکوس گرانولوزوس به روش PCR تکثیر و سپس با الگوهای RFLP با استفاده از ۳ آنزیم اندونوکلئاز مقایسه گردید. نمونه ها از کیست های کبد (۹۲ درصد)، طحال (۴ درصد) و ریه (۴ درصد) بیماران جراحی شده بودند. میانگین سنی بیماران ۳۹ سال بود که مسن ترین فرد مبتلا مرد ۷۲ ساله و جوانترین افراد ۲ زن ۱۸ ساله بودند. درصد بیماران زن و مرد به ترتیب ۵۱/۸ درصد و ۴۸/۲ درصد بودند.

محصول PCR به دست آمده از تکثیر rDNA-ITS1، الگوی قطعه تک باندی DNA را در ایزوله انسانی از نظر تعداد و اندازه نشان داد الگوی باندهای محصول PCR از نظر اندازه باندها بر حسب نوع پرایمر متفاوت مشاهده شد. اندازه باندهای DNA اکینوکوکوس گرانولوزوس با پرایمر BD1 و ۴S یک باند با اندازه ۳۹۱ جفت باز و با پرایمر EGF1 و EGR2 یک باندی با دو اندازه متفاوت ۱۰۰۰ و ۳۹۱ جفت باز مشاهده شد که نشان دهنده تفاوت ژنتیکی در الگوی قطعات DNA



تصویر شماره ۲: الگوی باندهای DNA اکینوکوکوس گرانولوزوس در ایزوله های انسانی پس از هضم آنزیمی قطعات ITS-1 با روش RFLP با آنزیم *Msp*1 (تعداد و اندازه باند)

آنتریم *TaqI*: با هضم آنزیمی DNA اکینوکوکوس گرانولوزوس محصول PCR (با پرایمر (GF1/EGR2) ایزوله های انسانی با آنزیم *TaqI* یک الگوی دو باندی هتروزیگوئی با اندازه های ۲۸۱ و ۱۱۰ جفت باز و الگوی سه باندی ۲۵۰، ۶۰۰ و ۱۵۰ جفت باز مشاهده شد (جدول شماره ۲) و در هضم آنزیمی DNA اکینوکوکوس گرانولوزوس محصول PCR با پرایمر BD1/4S ایزوله های انسانی با این آنزیم الگوی دو باندی در اندازه ۲۵۰ و ۱۴۱ جفت باز مشاهده شد (جدول شماره ۲ و تصویر شماره ۳). الگوهای متفاوتی از DNA اکینوکوکوس گرانولوزوس از نظر ژنتیکی با دو و سه باند DNA با اندازه های متفاوت مشاهده شد که نشان دهنده تفاوت در

ایزوله های انسانی بر روی ژل اگاروز با غلظت ۳ درصد و الگوی حاصل از هضم آنزیمی با آنزیم های فوق به شرح زیر می باشد:

#### آنتریم *AluI*:

با عمل هضم آنزیمی DNA اکینوکوکوس (BD1/4S PCR (با پرایمر) ایزوله های انسانی با آنزیم ALU1، یک الگویی از DNA تک باندی در اندازه ۳۹۱ جفت باز مشاهده شد (جدول شماره ۲). یعنی عمل هضم آنزیمی DNA اکینوکوکوس گرانولوزوس محصول PCR با پرایمر GF1/EGR2 ایزوله های انسانی با آنزیم ALU1 انجام نشده است (جدول شماره ۲).

جدول شماره ۲: تعداد و اندازه تقریبی قطعات باندهای DNA اکینوکوکوس گرانولوزوس محصول PCR تکثیر شده با دو پرایمر بعد از هضم آنزیمی با آنزیم های متفاوت محدود الاثر تجزیه کننده اندونوکلئازی در ایزوله انسانی

باندهای BD1/4S DNA با پرایmer	اندازه قطعات باندهای EGF1/EGF2 DNA با پرایمر	اندازه قطعات باندهای ALU1 DNA / آنزیم
۳۹۱bp	-	ALU1
۳۹۱bp	۲۹۱ و ۱۰۰bp	MSPI
۲۵۰ و ۱۴۱bp	۲۸۱ و ۱۱۰bp ۶۰۰ و ۱۵۰bp	TaqI

#### آنتریم *MspI*:

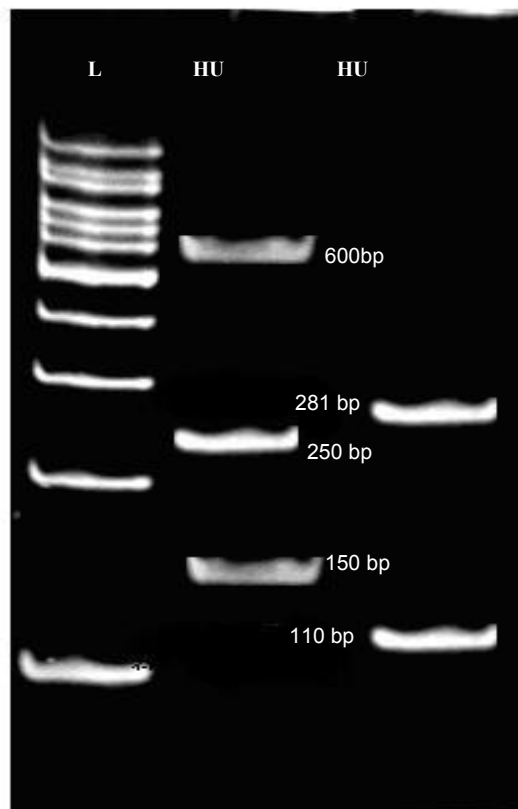
با هضم آنزیمی DNA اکینوکوکوس گرانولوزوس محصول PCR (با پرایمر (GF1/EGR2) ایزوله های انسانی با آنزیم *MspI*، یک الگوی یک باندی با اندازه های ۲۹۱ و ۱۰۰ جفت باز مشاهده شد و در هضم آنزیمی DNA اکینوکوکوس گرانولوزوس محصول PCR با پرایمر BD1/4S ایزوله های انسانی با این آنزیم یک باند DNA با اندازه ۳۹۱ جفت با اندازه ۳۹۱ جفت باز بدون تغییری در اندازه قطعات مشاهده شد (جدول شماره ۲ و تصویر شماره ۲).

متفاوت ژنتایی یا استرینی با آنزیم‌های Taq1 در ایزوله انسانی مشاهده شد. از طرفی در این مطالعه با آنزیم Alu1 و Msp1 تغییری در اندازه قطعات در ایزوله انسانی مشاهده نشد. تشابه اندازه و تعداد باندهای DNA با آنزیم Alu1 پس از هضم آنزیمی اکینوکوکوس گرانولوزوس، در بین ایزوله‌های انسانی مشاهده شد (جدول شماره ۲).

الگوی DNA اکینوکوکوس گرانولوزوس پس از هضم آنزیمی با آنزیم Msp1 با قطعات دو باندی DNA در ایزوله انسانی ۲۹۱ و ۱۱۰ جفت باز و قطعات تک باندی DNA در اندازه ۳۹۱ جفت باز مشاهده شد. الگوی DNA اکینوکوکوس گرانولوزوس پس از هضم آنزیمی با آنزیم Taq1 با قطعات دو باندی DNA در اندازه‌های ۲۸۱ و ۱۱۰ جفت باز و اندازه‌های ۶۰۰، ۲۵۰ و ۱۵۰ جفت باز مشاهده شد، که بیانگر وجود آلل‌های متفاوت (هتروزیگوت) در DNA پس از عمل هضم آنزیمی با روش RFLP است. علاوه بر این، الگوی RFLP اکینوکوکوس گرانولوزوس با آنزیم Alu1 و Msp1، قطعات تک باندی DNA در اندازه‌های ۳۹۱ جفت باز است که نشان‌دهنده الگوی مشابه ژنتیکی از توالی (Homolog) اکینوکوکوس گرانولوزوس یا تشابه درون گونه‌ای انگل در ایزوله انسانی است. در مطالعه شربت خوری و همکاران در سال ۲۰۰۹ در مناطق مختلف ایران از میزان‌های واسط مانند گاو، گوسفند، بز، شتر و انسان، از ۱۶ ایزوله، ژنتیپ G6 و از ۲۳ ایزوله، ژنتیپ G1 را گزارش نمودند که با نتایج مطالعه حاضر مطابقت دارد (۲۷). فصیحی هرندي و همکاران در سال ۲۰۰۲ استرین‌های گوسفندی (G6) و شتری (G6) با الگوهای مشابه‌ای از RFLP بین ایزوله‌های گوسفندی و شتری را با آنزیم‌های Alu1، ITS1 از PCR-RFLP و Msp1 با روش Rsa1 و ITS1 از PCR-RFLP ناحیه G6 نواحی جغرافیایی متفاوت در ایران گزارش کردند (۹).

همچنین وجود استرین‌های متفاوت اکینوکوکوس گرانولوزوس در ایران با روش مولکولی (PCR-RFLP)

آل‌های DNA می‌باشد، از طرفی تک باندهایی از DNA با اندازه متفاوت نیز بعد از هضم آنزیمی وجود دارد که بیانگر تشابه در آلل‌های DNA (Homolog) DNA با محصول PCR قبل از هضم آنزیمی است. بنابراین نتایج بیانگر وجود ژنتایپ‌های متفاوت اکینوکوکوس گرانولوزوس در ایزوله‌های انسانی در استان گلستان است.



تصویر شماره ۳: الگوی باندهای DNA اکینوکوکوس گرانولوزوس در ایزوله‌های انسانی پس از هضم آنزیمی قطعات ITS-1 با روش RFLP با آنزیم Taq1 (تعداد و اندازه باند)

## بحث

در مطالعه حاضر جهت هضم اندونوکلئازی DNA اکینوکوکوس گرانولوزوس ایزوله‌های انسانی با روش RFLP از سه آنزیم محدود الاثر Taq1، Msp1 و Alu1 با توالي متفاوت از نوکلئوتیدها استفاده شد. نتایج نشان‌دهنده دو الگوی متفاوت از قطعات DNA اکینوکوکوس گرانولوزوس بود یعنی الگوی تا حدودی

RFLP با پرایمرهای EGF1/EGR2 تعیین نمودند. در این مطالعه پس از تکثیر DNA اندازه باندهای تقریباً ۱ کیلو جفت باز (۱۰۰۰ جفت باز) گزارش شد (۳۳). در مطالعه غلامی و همکاران در سال ۲۰۰۹ اندازه قطعات DNA-ITS1 ایزوله‌های کبدی و ایزوله‌های گوسفندی، گاوی و شتری از ایران اندازه مشابه‌ای را با یک و دو قطعه با اندازه‌های ۱ کیلو جفت باز و کمتر از آن (۹۰۰ و ۱۰۰۰ جفت باز) گزارش شد (۳۲). با مقایسه نتایج مطالعات مختلف با مطالعه حاضر در ایزوله انسانی تشابه در باند با اندازه ۱۰۰۰ جفت باز و تفاوت در باند با اندازه ۳۹۱ جفت باز مشاهده می‌شود. از طرفی در مطالعه‌ای که توسط Zhang و همکاران در سال ۱۹۹۸ در ایران بر روی ۴ ایزوله انسانی و ۱۶ ایزوله حیوانی (از حیوانات اهلی شامل گوسفند، گاو، بز و شتر) اکینوکوکوس گرانولوزوس به روش مولکولی PCR-RFLP of rDNA- ITS1 (G1) با چرخه گوسفند- سگ و استرین شتری (G6) با چرخه شتر- سگ و ژنوتیپ G1 در ۱۴ ایزوله انسانی (استرین گوسفندی) با قطعاتی در حدود ۳۶۶ و ۳۹۰ جفت باز از مناطق متفاوت در ایران گزارش گردید. در این مطالعه اندازه تقریبی قطعه DNA با اندازه‌ای در حدود ۳۵۰ تا ۴۰۰ جفت باز در نمونه‌های انسانی و حیوانی مشاهده شد که با نتایج مطالعه حاضر تا حدودی مطابقت دارد (۲۳).

در مطالعه حاضر DNA اکینوکوکوس گرانولوزوس نمونه‌های پارافینه کیست هیداتید انسانی در الگوی باندهای محصول PCR ایزوله‌های انسانی از نظر تعداد یک باند و اندازه باندها بر حسب نوع پرایمر متفاوت بود. الگوی باندهای نمونه‌های اکینوکوکوس گرانولوزوس ایزوله‌های انسانی محصول PCR با پرایمر EGF1/EGR2 در اندازه ۱۰۰۰ و ۳۹۱ جفت باز و با پرایمر BD1/4S اندازه ۳۹۱ جفت باز مشاهده شد (جدول شماره ۱). در سایر بررسی‌ها Bowles و McManus در سال ۱۹۹۴ و همکاران در سال ۱۹۹۷ (۱۴) دو قطعه از

در مطالعه Zhang و همکاران در سال ۱۹۹۸، احمدی و دلیمی در سال ۲۰۰۶ و غلامی و همکاران در سال ۲۰۰۹ با روش‌های مرفلوژی و مولکولی در ایزوله‌های حیوانی و انسانی با چرخه‌های سگ- گوسفند و سگ- شتر به عنوان چرخه‌های فعال انگل مورد تائید قرار گرفته است (۳۲، ۳۱، ۲۳) که می‌تواند در انتقال عفونت به انسان و سایر میزانهای واسطه تصادفی بر طبق مطالعات محققین نقش داشته باشد (۳۴).

در مطالعات سالهای اخیر روش تعیین ژنوتیپ‌های یا استرین‌های اکینوکوکوس گرانولوزوس از بافت‌های پارافینه کیست‌های هیداتید انسانی ثابت شده در فرمالین (FFPTs) به لحاظ اهمیت مورد استفاده قرار گرفت (۲۸). لذا در مطالعه مولکولی حاضر نمونه‌های کیست هیداتید انسانی از استان گلستان برای اولین بار با استفاده از روش مولکولی PCR-RFLP of rDNA- ITS1 گرفتند. در این مطالعه بیش از یک قطعه ITS1 از DNA اکینوکوکوس گرانولوزوس در اندازه‌های متفاوت بعد از تکثیر محصول PCR نمونه‌های کیست هیداتید پارافینه انسانی از این استان در شمال شرق ایران مشاهده شد. بررسی محصول PCR ناحیه rDNA-ITS1 مربوط به ایزوله‌های انسانی نشان‌دهنده تشابه زیادی بین ایزوله‌های گوسفندی و گاوی و تا حدودی تفاوت با ایزوله‌های انسانی و شتری است. همچنین مقایسه تعداد و اندازه قطعات rDNA-ITS1 مربوط به ایزوله‌های انسانی با یکدیگر نشان‌دهنده اختلاف در اندازه قطعات به ویژه در استفاده از پرایمرهای BD1/4S و EGF1/EGR2 و ۱۴S می‌باشد.

شهنازی و همکاران از اصفهان در سال ۲۰۱۰ در کیست‌های هیداتید انسانی با پرایمر BD1/4S، اندازه ۱۱۰۰ DNA اکینوکوکوس گرانولوزوس را ۱۰۰۰ و ۱۱۰۰ جفت باز گزارش کردند (۲۴). همچنین در مطالعه عشرت بیگم کیا و همکاران در سال ۲۰۱۰ ژنوتیپ‌های ۳۰ نمونه کیست هیداتید انسانی را با روش PCR و روش

یانگر وجود دو ژنوتایپ متفاوت اکینوکوس گرانولوزوس یا استرینی در مناطق مختلف استان گلستان است، که نیاز به مطالعات تکمیلی به روش مولکولی در ایزوله‌های انسانی و حیوانی دارد.

## سپاسگزاری

از کالیه همکاران آقای دکتر علیرضا رفیعی، سرکارخانم زهرا حسینی خواه در مرکز تحقیقات سلولی و مولکولی و آقای گوهردهی و باستانی در بخش انگل‌شناسی دانشکده پزشکی و پرسنل بخش‌های پاتولوژی بیمارستان‌های حکیم جرجانی، ۵ آذر گرگان و خاتم الانیا و شهید مطهری گند و کارکنان کشتارگاه‌های استان گلستان که در انجام این مطالعه ما را یاری نمودند تقدیر و تشکر به عمل می‌آید. همچنین از معاونت تحقیقات و فناوری دانشگاه برای مساعدت و همکاری شان کمال تشکر را داریم. این مقاله حاصل پایان‌نامه دانشجویی کارشناسی ارشد مسعود سوسرایی می‌باشد.

## References

- Eckert J, Schantz PM, Gasser RB, Torgerson PR, Bessonov AS, Movsessian SO. Geographic distribution and prevalence. In: Eckert J, Gemmell MA, Meslin FX, Pawlowski ZS (eds) WHO/OIE Manual on Echinococcosis in Human and animals: A public health problem of global concern. Paris: World Organisation for Animal Health. 2001; pp. 100-142.
- Sarıozkan S, Yalçın C. Estimating the production losses due to cystic echinococcosis in ruminants in Turkey. Vet Parasitol 2009; 163(4): 330-334.
- Snábel V, Altintas N, D'Amelio S, Nakao M, Romig T, Yolasigmaz A, et al. Cystic echinococcosis in Turkey: genetic variability and first record of the pig strain (G7) in the country. Parasitol Res 2009; 105(1): 145-154.
- Gholami Sh, Mobedi E, Ziae H, Sharif M. Intestinal helminth parasites in dog and jackal in inferent areas Sari in the year 1992-1993. J Mazand Univ Med Sci 1999; 9(22,23): 5-12 (Persian).
- Dalimi A, Mobedi I. Helminth parasites of carnivores in northern Iran. Ann Trop Med Parasitol 1992; 86(4): 395-397.
- Ansari-Lari M. A retrospective survey of hydatidosis in livestock in Shiraz, Iran, based on abattoir data during 1999-2004. Vet Parasitol 2005; 133(1): 119-123.
- Dalimi A, Motamedi G, Hosseini M, Mohammadian B, Malaki H, Ghamari Z, et al. Echinococcosis/hydatidosis in western Iran. Vet Parasitol 2002; 105(2): 161-171.
- Yousofi Darani H, Avijgan M, Karimi K, Manouchehri K, Masood J. Seroepidemiology

- of Hydatid Cyst in Chaharmahal va Bakhtiari Province, Iran. *Iranian J Publ Health* 2003; 23(2): 31-33.
9. Harandi MF, Hobbs RP, Adams PJ, Mobedi I, Morgan-Ryan UM, Thompson RC. Molecular and morphological characterization of *Echinococcus granulosus* of human and animal origin in Iran. *Parasitology* 2002; 125(Pt 4): 367-373.
10. Bowles J, Blair D, McManus DP. Genetic variants within the genus *Echinococcus* identified by mitochondrial DNA sequencing. *Mol Biochem Parasitol* 1992; 54(2): 156-173.
11. McManus DP, Rishi AK. Genetic heterogeneity within *Echinococcus granulosus*: isolates from different hosts and geographical areas characterized with DNA probes. *Parasitology* 1989; 99(Pt 1): 17-29.
12. Lavikainen A, Lehtinen MJ, Meri T, Hirvelä-Koski V, Meri S. Molecular genetic characterization of the Fennoscandian cervid strain, a new genotypic group (G10) of *Echinococcus granulosus*. *Parasitology* 2003; 127(Pt 3): 207-215.
13. Bowles J, McManus DP. Molecular variation in *Echinococcus*. *Acta Trop.* 1993; 53(3-4): 291-305.
14. Bowles J, McManus DP. Rapid discrimination of *Echinococcus* species and strains using a polymerase chain reaction-based RFLP method. *Mole Biochem Parasitol* 1993; 57(2): 231-240.
15. Thompson RCA. Biology and systematics of *Echinococcus*. In *Echinococcus and Hydatid Disease* (ed. Thompson RCA, Lymbery AJ.). Wallingford: CAB International; 1995. pp. 1-50.
16. Thompson RC, Lymbery AJ. The nature, extent and significance of variation within the genus *Echinococcus*. *Adv Parasitol* 1988; 27: 209-258.
17. Thompson RC, McManus DP. Towards a taxonomic revision of the genus *Echinococcus*. *Trends Parasitol* 2002; 18(10): 452-457.
18. Scott JC, Stefaniak J, Pawlowski ZS, McManus DP. Molecular genetic analysis of human cystic hydatid cases from Poland: identification of a new genotypic group (G9) of *Echinococcus granulosus*. *Parasitology* 1997; 114(Pt 1): 37-43.
19. Lavikainen A, Lehtinen MJ, Meri T, Hirvelä-Koski V, Meri S. Molecular genetic characterization of the Fennoscandian cervid strain, a new genotypic group (G10) of *Echinococcus granulosus*. *Parasitology* 2003; 127(Pt 3): 207-215.
20. McManus DP, Thompson RC. Molecular epidemiology of cystic echinococcosis. *Parasitology* 2003; 127(Suppl): S37-S51.
21. Bowles J, Blair D, McManus DP. A molecular phylogeny of the genus *Echinococcus*. *Parasitology* 1995; 110(Pt 3): 317-328.
22. Lymbery AJ, Thompson RC, Hobbs RP. Genetic diversity and genetic differentiation in *Echinococcus granulosus* (Batsch, 1786) from domestic and sylvatic hosts on the mainland of Australia. *Parasitology* 1990; 101(Pt 2): 283-289.
23. Zhang L, Eslami A, Hosseini SH, McManus DP. Indication of the presence of two distinct strains of *Echinococcus granulosus* in Iran by mitochondrial DNA markers. *Am J Trop Med Hyg* 1998; 59(1): 171-174.
24. Shahnazi M, Hejazi H, Salehi M, Andalib AR. Molecular characterization of human and animal *Echinococcus granulosus* isolates in Isfahan, Iran. *Acta Trop* 2011; 117(1): 47-50.
25. Arbabi M, Hooshyar H. Survey of Echinococcosis and Hydatidosis in Kashan Region, Central Iran. *Iranian J Pub Health*



- 2006; 35(1): 75-81.
26. Sharbatkhori M, Mirhendi H, Harandi MF, Rezaeian M, Mohebali M, Eshraghian M, et al. *Echinococcus granulosus* genotypes in livestock of Iran indicating high frequency of G1 genotype in camels. *Exp Parasitol* 2010; 124(4): 373-379.
27. Sharbatkhori M, Mirhendi H, Jex AR, Pangasa A, Campbell BE, Kia E, Eshraghian M, Fasihi Harandi M, Gasser RB. Genetic categorization of *Echinococcus granulosus* from humans and herbivorous hosts in Iran using an integrated mutation scanning-phylogenetic approach. *Electrophoresis* 2009; 30: 2648-2655.
28. Schneider R, Gollackner B, Edel B, Schmid K, Wrba F, Tucek G, et al. Development of a new PCR protocol for the detection of species and genotypes (strains) of *Echinococcus* in formalin-fixed, paraffin-embedded tissues. *Int J Parasitol* 2008; 38(8,9): 1065-1071.
29. Sambrook J, Fritsch EF, Maniatis T. Molecular Cloning: A Laboratory Manual. 2<sup>nd</sup> edition.
- New York: Cold Spring Harbor Laboratory Press; 1989.
30. Sharbatkhori M, Kia E, Fasihi Harandi M, Jalalizand N, Zahabiun F, Mirhendi H. Comparison of five simple methods for DNA extraction from *Echinococcus granulosus* protoscoleces for PCR amplification of ribosomal DNA. *Iranian J Parasitol* 2009; 4(2): 54-60.
31. Ahmadi N, Dalimi A. Characterization of *Echinococcus granulosus* isolates from human, sheep and camel in Iran. *Infect Genet Evol* 2006; 6(2): 85-90.
32. Gholami Sh, Irshadullah M, Khan A. Genetic variation of *Echinococcus granulosus* isolates from Indian buffalo and Iranian sheep, cattle and camel. *J Mazand Univ Med Sci* 2009; 19(71): 60-69 (Persian).
33. Kia EB, Rahimi H, Sharbakhori M, Talebi A, Fasihi Harandi M, Mirhendi H, et al. Genotype identification of human cystic echinococcosis in Isfahan, central Iran. *Parasitol Res* 2010; 107(3): 757-760.